PENGARUH GRADASI DAN BENTUK BUTIRAN PASIR TERHADAP KUAT GESERNYA

Lambok Jadiaman Simanjuntak¹⁾, Muhamad Yusa²⁾, Ferry Fatnanta²⁾

¹⁾Mahasiswa Jurusan Teknik Sipil, Fakultas Teknik, Universitas Riau ²⁾Dosen Jurusan Teknik Sipil, Fakultas Teknik, Universitas Riau Kampus Bina Widya Jl. HR Soebrantas KM 12,5 Pekanbaru, Kode 28293 Email:lambok.jadiaman@student.unri.ac.id

ABSTRACT

Gradation and grain shape of sand are some of the factors that influence the shear strength of sand. This needs to be considered, so that the effect can be maximized for construction related to sand. The purpose of this research is to find out how to analyze the shape of the sand grains and analyze the behavior of the angle of friction (ϕ) due to the influence of the grading and shape of the grains. The test is carried out by dividing the gradation, which consists of three variations with a relative density of 70%. Gradation 1 is dominated by medium granules as much a 100%, gradation 2 is dominated by coarse granules as much a 60%, and gradation 3 is dominated by fine granules as much a 60%. The shape of the sand grains is divided into two forms, namely the group of angular and rounded grains, which are distinguished based on the morphological parameters of the granules namely roundness (R), sphericity (S) and regularity (p). The morphological parameters of the granules are analyzed using imageJ. The results showed that the analysis of grains shape of sand using imageJ, obtained levels of grain shape from the two sands, namely sub-angular and subrounded. The effect of gradation on angle of friction (ϕ) is gradation dominated by coarse grains of 60%, namely gradation variation 2, and which has a long grain distribution, namely gradation variation 3 has a higher angle of friction (ϕ) compared to gradation variation 1. Comparison of the angle of friction (\$\phi\$) between the grain shape of sand, that is sand with a sub-angular shape has a higher the angle of friction (ϕ) compared to sand with a sub-rounded shape.

Keywords: Sand, gradation, particle shape, imageJ, roundness (R), *sphericity* (S), *regularity* (ρ), *angle of friction* (ϕ).

A. PENDAHULUAN

Tanah merupakan material yang tidak bisa lepas dari dunia konstruksi, karena bangunan atau stabilitas galian dan timbunan yang dibangun diatas tanah, tergantung pada kuat geser tanah tersebut. Kuat geser adalah parameter penting yang diperlukan untuk analisis daya dukung tanah, yang mana kuat geser ini terdiri dari komponen yaitu, sudut geser (ф) dan kohesi (c).

Pasir adalah kelompok tanah non kohesif atau bersifat lepas dan mempunyai sifat-sifat teknis yang sangat baik, yang mana sifat teknis ini sangat dipengaruhi oleh parameter kuat geser pasir tersebut. Faktor-faktor yang mempengaruhi parameter kuat geser pasir adalah ukuran butiran, air yang terdapat di antara butiran, kekasaran permukaan butiran, kerapatan relatif

 (D_r) , angka pori (e), gradasi dan bentuk butiran.

Gradasi adalah salah satu dari banyak faktor yang berpengaruh terhadap kuat geser pasir. Gradasi merupakan gambaran dari distribusi butiran pasir, yang mana jika semakin panjang sebuah distribusi butiran, maka sudut geser (\$\phi\$) pasir tersebut akan Casagrande meningkat. (dalam Hardiyatmo, 2002) mengatakan jika dua macam pasir mempunyai kerapatan relatif (D_r) yang sama, tetapi gradasinya berlainan, pasir yang bergradasi lebih baik (lebih panjang) akan mempunyai sudut geser (\$\phi\$) yang lebih besar. Disisi lain, pengaruh dari banyaknya butiran kasar dalam sebuah gradasi, akan memberi peningkatan nilai sudut geser (φ) dari pasir tersebut. Seperti yang disimpulkan oleh Kara dkk (2013), Alias dkk (2014) dan Umam (2017) dalam penelitian mereka menganalisis tema yang sama, yaitu pengaruh gradasi terhadap perilaku sudut geser (\$\phi\$) pasir. Dari hasil penelitian disimpulkan bahwa ukuran butiran pasir sangat mempengaruhi kuat geser tanah, yaitu semakin kasar ukuran butiran yang mendominasi di dalam sebuah gradasi, maka sudut geser (\$\phi\$) semakin besar tanah akan sebaliknya, semakin halus ukuran butiran yang mendominasi, maka semakin kecil sudut geser (\$\phi\$) yang dihasilkan.

Bentuk butiran pasir salah satu faktor yang mempengaruhi sudut geser (\$\phi\$) pasir. Walaupun bukan faktor yang paling utama, akan tetapi bentuk butiran ini tidak bisa diabaikan, karena bentuk butiran yang cenderung bersudut dan cenderung bulat akan mempunyai pengaruh yang berbeda, yang mana pinggiran butiran pasir, yang cenderung bersudut, akan menghasilkan sudut geser (\$\phi\$) yang lebih tinggi. Seperti yang

ditunjukkan dalam penelitian Sukumaran dan Ashmawy (2001) dan Cho dkk (2004) dalam penelitian mereka yang menganalisis tema yang sama, yaitu pengaruh bentuk butiran terhadap perilaku kuat geser pasir, memperoleh kesimpulan yang sama yaitu, butiran yang cenderung bersudut, mempunyai angka pori maksimum dan minimum (e_{max} dan e_{min}) dan sudut geser (ϕ) yang tinggi, dibandingkan dengan butiran yang cenderung bulat.

B. TINJAUAN PUSTAKA B.1. Pasir

Pasir merupakan tanah berbutir kasar yang terbentuk dari pelapukan batuan beku serta sedimen. Berdasarkan ukuran butiran, pasir mempunyai ukuran butiran sesuai standar AASHTO (American Association of State Highway and Transportation Officials) yaitu ukuran 2 mm sampai 0,075 mm. standar Sedangkan untuk (Unified Soil Classification System), yaitu ukuran 4,75 mm sampai 0,075 mm. Berat jenis (specific gravity) (G_s) dari pasir berada pada rentang nilai 2,65-2,68.

Pasir mempunyai sifat-sifat teknis yang sangat baik. Sifat- sifat teknis yang dimiliki pasir adalah sebagai berikut:

- 1. Merupakan material yang baik untuk mendukung bangunan, badan jalan. tanah urug pada dinding penahan tanah.
- 2. Tanah yang baik untuk timbunan.
- 3. Dapat menjadi bahan tanggul, bendungan, jika dicampur dengan tanah kohesif.

B.2. Kerapatan Relatif

Kerapatan relatif (D_r) adalah gambaran kepadatan dari tanah granuler. Kerapatan relatif (D_r) sangat berpengaruh pada sifat teknis tanah

granuler seperti pasir, karena kuat geser dan kompresibilitasnya, tergantung dari kepadatan butiran (Hardiyatmo, 2002). Kerapatan relatif (D_r) umumnya dipakai untuk menunjukkan tingkat kepadatan tanah berbutir kasar di lapangan. Karena itu, dalam prakteknya digunakan beberapa macam penetrasi dihubungkan dengan yang relatifnya kerapatan (D_r) yang dinyatakan dalam persen (%), seperti vang ditunjukkan pada Tabel 1.

Tabel 1. Kerapatan Relatif (D_r) Tanah Berbutir.

Kerapatan relatif (%)	Deposit tanah
0 – 15	sangat lepas
15 - 50	lepas
50 - 70	menengah
70 - 85	padat
85 – 100	sangat padat

Sumber: (Hardiyatmo, 2002)

Hubungan kerapatan relatif (D_r) dengan angka pori (e) dapat dinyatakan dalam Persamaan 1.

$$D_r = \frac{e_{max} - e}{e_{max} - e_{min}} \tag{1}$$

Hubungan berat jenis (G_s), berat volume air (γ_w) dan angka pori (e) terhadap berat volume tanah kering (γ_d) dapat dinyatakan dalam Persamaan 2 berikut:

$$\gamma_d = \frac{G_s \gamma_w}{1+e} \tag{2}$$

Nilai kerapatan relatif (D_r) pasir digunakan untuk menyatakan hubungan antara berat volume kering minimum dan maksimum $(\gamma_{dmin} \text{ dan } \gamma_{dmax})$ dengan angka pori maksimum dan minimum $(e_{max} \text{ dan } e_{min})$. Maka Persamaan 2 dapat dinyatakan dalam Persamaan 3 dan Persamaan 4 berikut:

$$\gamma_{dmin} = \frac{G_s \gamma_w}{1 + e_{max}} \tag{3}$$

$$\gamma_{dmax} = \frac{G_s \gamma_w}{1 + e_{win}} \tag{4}$$

B.3. Gradasi

Gradasi adalah analisis gambaran dari distribusi ukuran butiran sampel tanah yang diperoleh dari analisis mekanis. Analisis mekanis adalah penentuan variasi ukuran partikelpartikel yang ada pada tanah. Variasi tersebut dinyatakan dalam persentase dari berat kering total.

Ada tiga parameter dasar yang diperoleh dari kurva distribusi butiran. Parameter-parameter tersebut adalah ukuran efektif (effective size), koefisien keseragaman (uniformity coefficient) dan koefisien gradasi (coefficient of gradation). Koefisien keseragaman (Cu) menunjukkan suatu rentang ukuran butiran tanah.

$$C_u = \frac{D_{60}}{D_{10}} \tag{5}$$

Koefisien gradasi (C_c) digunakan sebagai suatu ukuran dari bentuk kurva distribusi ukuran butiran.

$$C_c = \frac{D_{30}^2}{D_{60} \times D_{10}} \tag{6}$$

Dengan:

 D_{10} : diameter butiran yang bersesuaian dengan 10% yang lebih halus.

 D_{30} : diameter butiran yang bersesuaian dengan 30% yang lebih halus.

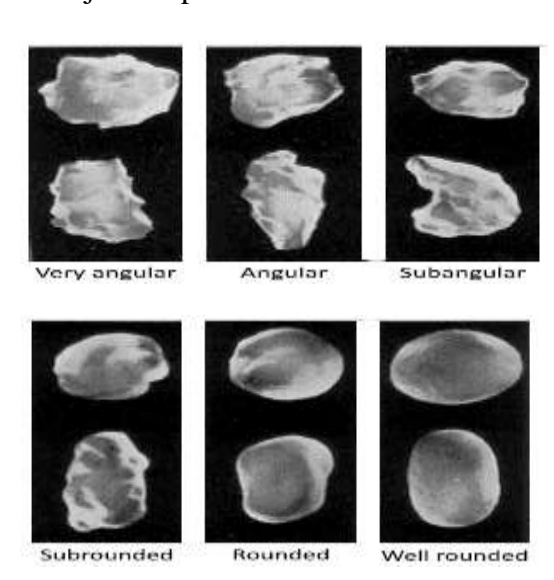
 D_{60} : diameter butiran yang bersesuaian dengan 60% yang lebih halus.

Tanah granuler seperti pasir disebut bergradasi baik (*well graded*) jika $1 < C_c < 3$ dengan $C_u > 6$ dan bila persyaratan C_c telah terpenuhi. Jika hanya memenuhi salah satu nilai dari C_c dan C_u maka ukuran butiran semakin

sama atau dikategorikan bergradasi buruk (*poorly graded*), dan gradasi selang (*gap graded*) yaitu sebaran ukuran butiran tidak ada pada salah satu atau dua nomor saringan.

B.4. Morfologi Butiran Pasir

Morfologi butiran merupakan karakteristik dari kenampakan luar dari suatu butiran partikel. Powers (dalam Hryciw dkk, 2016) membagi bentuk butir sedimen pasir berdasarkan kebundaran atau keruncingan menjadi enam tingkatan seperti yang ditunjukkan pada Gambar 1.

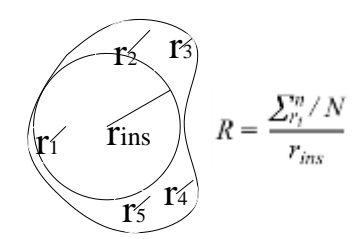


Gambar 1. Morfologi Butiran Pasir. Sumber: Powers (dalam Hryciw dkk, 2016)

Membedakan bentuk butiran pasir ada parameter penting yang bisa digunakan sebagai acuan, yaitu roundness (R), sphericity (S) dan regularity (ρ) .

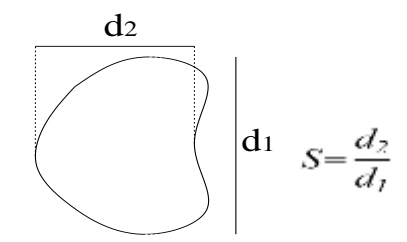
Roundness (R) adalah ketajaman pinggir dan sudut suatu material sedimen klastik. Wadell (dalam Hryciw dkk, 2016) menyatakan bahwa pengukuran roundness (R) suatu butiran dilakukan dengan cara mengukur jarijari kelengkungan masing-masing sudut butiran (r_i), kemudian jari-jari

kelengkungan butiran tersebut, dibandingkan dengan jari-jari lingkaran maksimum yang dapat dimasukkan ke dalam butiran tersebut (r_{ins}).



Gambar 2. *Roundness (R)*.

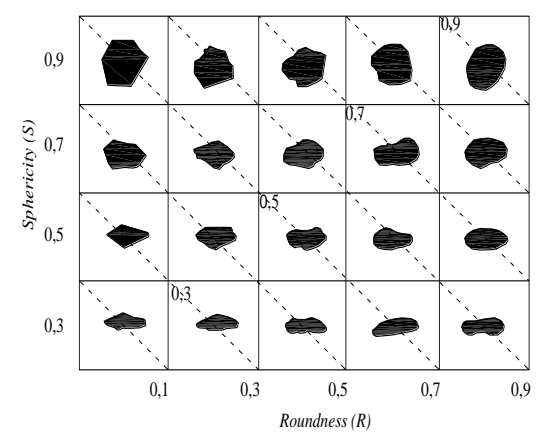
Sphericity (S) adalah parameter yang digunakan untuk mendefinisikan bentuk butiran berdasarkan volume butiran, yaitu perbandingan ukuran dari panjang, lebar dan tinggi butiran saling mendekati. Krumbein dan Sloss (dalam Hryciw dkk, 2016) mengasumsikan bahwa sphericity (S) adalah perbandingan antara lebar partikel (particle width) (d₂) dengan panjang partikel (particle length) (d₁).



Gambar 3. *Sphericity (S)*.

Krumbein dan Sloss (dalam Hryciw dkk, 2016), membuat grafik gabungan roundness antara nilai (R)dan sphericity (S) yang ditampilkan dalam 20 estimasi bentuk partikel butiran, seperti yang ditunjukkan pada Gambar 4. Dari grafik tersebut, terlihat bahwa semakin rendah nilai roundness (R). maka pinggiran dari butiran akan lebih cenderung meruncing atau menyudut. Sebaliknya, semakin tinggi nilai roundness (R), maka pinggiran dari butiran akan cenderung membundar

atau membulat. Semakin rendah nilai sphericity (S), maka butiran akan mempunyai bentuk cenderung lonjong. Sebaliknya, semakin tinggi nilai sphericity (S), maka butiran akan mempunyai bentuk cenderung seperti bola.



Gambar 4. Estimasi Bentuk Butiran. Sumber: Krumbein dan Sloss (dalam Hryciw dkk, 2016)

Garis diagonal grafik, pada merupakan nilai rata-rata dari penjumlahan roundness dan (R)sphericity (S) yang disebut dengan regularity (ρ) . Berdasarkan nilai regularity (ρ), Rees (2010) membagi tingkatan bentuk butiran seperti yang ditunjukkan pada Tabel 2.

Tabel 2. Nilai *Regularity* (ρ) Berbagai Tingkatan Bentuk Butiran.

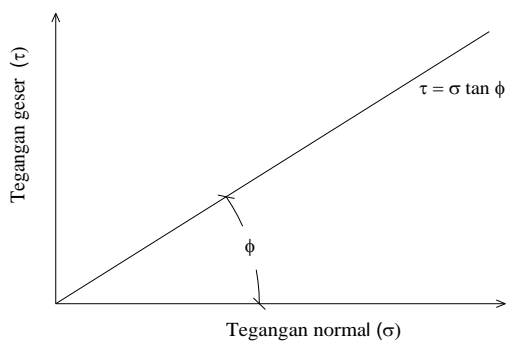
111181111111111111111111111111111111111	71100711 D 0701100111			
Regularity (ρ) Bentuk butiran				
<0,4	Angular			
0,4-0,65	Sub-angular			
0,65-0,75	Sub-rounded			
>0,75	Rounded			

Sumber: (Rees, 2010)

B.5. Kuat Geser Pasir

Kekuatan geser suatu massa tanah merupakan perlawanan internal tanah tersebut per satuan luas terhadap keruntuhan atau pergeseran sepanjang bidang geser dalam tanah yang dimaksud (Das, 1995). Kuat geser tanah adalah gaya perlawanan yang dilakukan oleh butir-butir tanah terhadap desakan atau tarikan (Hardiyatmo, 2002).

Tanah granuler seperti pasir, mempunyai tahanan geser berupa gesekan yang berasal dari butiran yang dikenal dengan istilah sudut geser internal (ϕ) .



Gambar 5. Kuat Geser Tanah Granuler.

Sudut geser internal (ϕ) merupakan gradien dari hubungan tahanan geser sebagai fungsi dari tegangan normal (σ). Jika tegangan normal besar (σ), maka tegangan geser (τ) juga besar, seperti yang terlihat pada Gambar 5.

Persamaan garis dalam hubungan tersebut adalah:

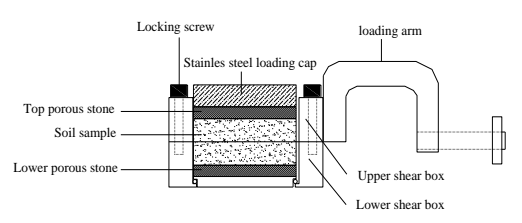
$$\tau = \sigma \tan \phi \tag{7}$$

Sehingga besar sudut geser adalah:

$$\phi = \tan^{-1}\left(\frac{\tau}{\sigma}\right) \tag{8}$$

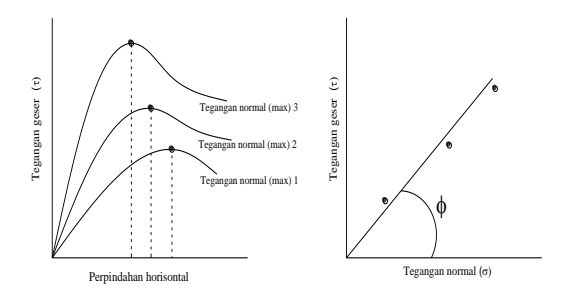
Tegangan normal (σ) adalah tegangan yang bekerja tegak lurus pada bidang gesernya. Jika tegangan normal (σ) bernilai nol, maka tegangan geser (τ) juga bernilai nol. Pasir dengan kondisi basah, kemungkinan mempunyai kohesi (c) yang lemah atau biasa disebut sebagai kohesi (c) semu. Namun kohesi (c) tersebut tidak boleh diperhitungkan sebagai bagian dari kuat geser.

Pengujian kuat geser untuk pasir, biasanya dilakukan dengan pengujian geser langsung. Bentuk susunan alat pengujian geser langsung ini, dapat dilihat pada Gambar 6.



Gambar 6. Alat Uji Geser Langsung.

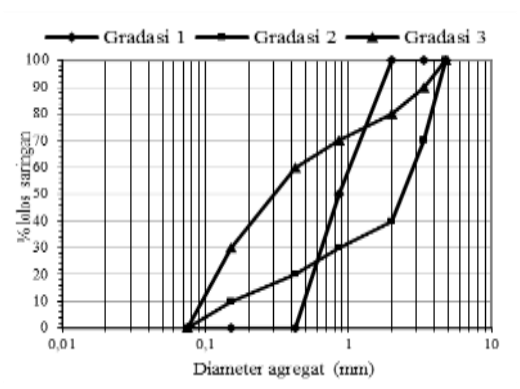
geser langsung biasanya dilakukan beberapa kali pada sebuah sampel tanah dengan bermacam-macam tegangan normal. Harga tegangan normal (σ) dan tegangan geser (τ) diperoleh dengan melakukan beberapa kali pengujian dan dapat digambarkan pada sebuah grafik dan selanjutnya dapat ditentukan harga-harga parameter kekutan geser, seperti yang ditunjukkan pada Gambar 7.



Gambar 7. Grafik Uji Geser Langsung.

C. METODOLOGI PENELITIAN C.1. Gradasi Rencana

Gradasi yang direncanakan di antara lolos saringan No.4 dan tertahan No.6,No.10,No.20,No.40,No100 dan No.200. Jenis gradasi yang digunakan adalah gradasi buruk, yang dibagi atas 3 variasi gradasi yang dibedakan berdasarkan persentase fraksi butiran kasar, sedang dan halus, seperti yang terlihat pada Gambar 8.



Gambar 8. Gradasi Rencana.

Gradasi 1 (G1) didominasi oleh pasir fraksi butiran sedang sebesar 100% dengan nilai C_u dan C_c sebesar dan 0,836. Gradasi 2 (G2) 2.041 didominasi oleh pasir fraksi butiran kasar sebesar 60% fraksi butiran sedang sebanyak 20% dan fraksi butiran halus sebanyak 20%. dengan nilai C_u dan C_c sebesar 18,667 dan 13,487. Gradasi 3 (G3) didominasi oleh pasir fraksi butiran halus sebesar 60% fraksi butiran kasar sebanyak 20% dan fraksi butiran sedang sebanyak 20%. dengan nilai C_u dan C_c sebesar 4,474 dan 0,101. Pembagian persentase fraksi setiap variasi gradasi, dapat dilihat pada Tabel 3.

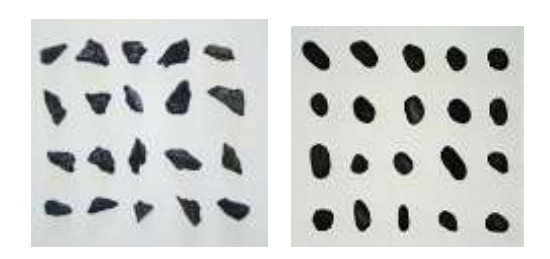
Tabel 3. Persentase Tertahan Setiap

	Saringan.					
No	G1	G2	G3			
	% tertahan	% tertahan	% tertahan			
4	0%	0%	0			
6	0%	30%	10%			
10	0%	30%	10%			
20	50%	10%	10%			
40	50%	10%	10%			
100	0%	10%	30%			
200	0%	10%	30%			

C.2. Analisis Bentuk Butiran

Analisis bentuk butiran bertujuan untuk memperoleh parameter morfologi bentuk butiran, yaitu *roundness* (*R*), *sphericity* (*S*) yang dianalisis dengan

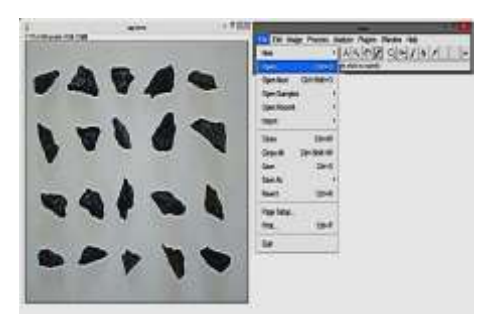
menggunakan *ImageJ*. Analisis ini juga digunakan untuk memastikan bahwa morfologi butiran pasir dari kedua pasir memang berbeda. Jumlah sampel butiran yang digunakan untuk mewakili setiap kelompok pasir yaitu sebanyak 200 butiran yang tertahan di saringan No.6 dan No.10. Proses pengambilan butiran dilakukan secara acak dari kedua saringan, yaitu 100 butiran dari saringan No.6 dan 100 butiran dari saringan No.10. Pengambilan foto butiran menggunakan kamera telepon pintar yang mana dalam setiap satu frame terdapat 20 butiran, seperti yang terlihat pada Gambar 9.



Gambar 9. Contoh Foto Butiran.

Langkah-langkah cara menganalisis morfologi bentuk butiran adalah sebagai berikut:

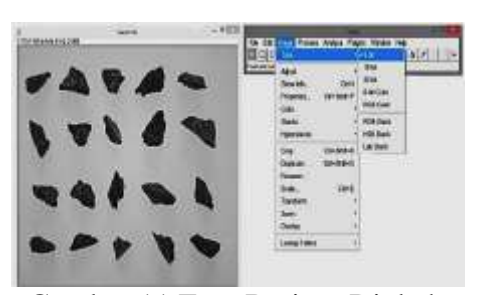
1. Membuka aplikasi *ImageJ*, lalu memilih *menu file*, klik *open*, lalu memilih *file* foto butiran, seperti yang terlihat pada Gambar 10.



Gambar 10. Tampilan Butiran di Kotak Dialog *ImageJ*.

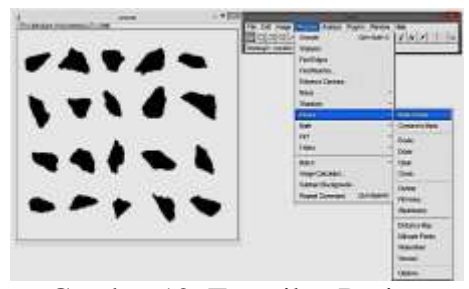
2. Memilih *menu image*, kemudian memilih *sub menu type*, lalu

memilih 8 *bit*, seperti yang terlihat pada Gambar 11.



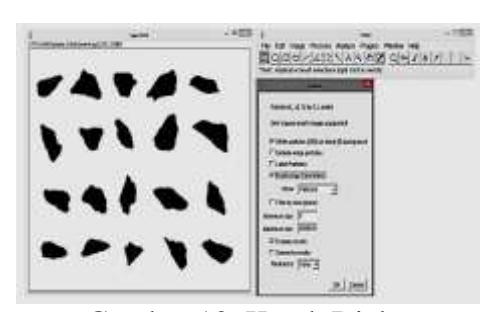
Gambar 11.Foto Butiran Diubah Menjadi Tipe 8 *bit*.

3. Memilih *menu process*, memilih *sub menu binary*, lalu memilih *make binary*, seperti yang terlihat pada Gambar 12.



Gambar 12. Tampilan Butiran Dengan Format *Binary*.

4. Memilih *menu plugins*, kemudian pada kotak dialog *plugins*, memilih *particles8*, kemudian memilih kotak *white particle (255)* on black (0) background dan morphology parameters, kemudian memilih *Ok*, seperti yang terlihat pada Gambar 13.



Gambar 13. Kotak Dialog *Particles8*.

5. Mengolah data yang diperoleh dari *ImageJ* dengan perangkat lunak pengolah angka (*excel*). Kemudian dari data tersebut, ditentukan kategori tingkatan bentuk dari pasir yang dianalisis, berdasarkan grafik estimasi dari bentuk butiran menurut krumbein dan sloss, serta parameter *regularity* (*ρ*). Contoh data analisis *ImageJ* dapat dilihat pada Gambar 14.

				<u> </u>							
36110	SCSPC)	hicard	SELDENC	SANT THE	(HALL)	BLOOM R	5556	3500	0650	Moral	-1
38	1100	()群	-10	-10t	-738	一块	112	100.	HIT.	-131	:18t
14	10.00	16.200	2301-65	188	15	mm	in.	300	180	16	141
112	90.55	BUR	200.5	122	351	300	122	26	15.	10	141
180	107.00	182	DOW	110	394	ara:	156	that:	180	18	190
10	9430	1001	1556.94	115	1%	GRM .	18	2.0	an i	120	tit
178	1825	DES.	1994	100	24	808	III	ля	121	130	100
116	1025	10622	355.0	4.9	IN	100.00	125	1131	18	12	tit

Gambar 14. Data Morfologi Butiran Dari Analisis *ImageJ*.

C.3. Variasi Sampel

Penamaan sampel dibuat setelah proses perencanaan gradasi dan analisis butiran telah selesai dilaksanakan. Hal ini sengaja dilakukan, supaya penamaan sampel mengacu pada inisial tingkatan bentuk butiran dan variasi gradasi. Rencana variasi sampel terdiri dari 3 variasi gradasi yang mempunyai kerapatan relatif sebesar 70% (kondisi padat) yang dikombinasikan dengan bentuk butiran pasir, yaitu bentuk butiran sub-angular (SA) dan subrounded (SR) seperti yang terlihat pada Tabel 4.

Tabel 4. Penamaan Sampel

Tueer 1: I chamaan samper					
Gradasi	Penamaan				
(G)	sampel				
G1	SA-G1				
G2	SA-G2				
G3	SA-G3				
G1	SR-G1				
G2	SR-G2				
G3	SR-G3				
	Gradasi (G) G1 G2 G3 G1 G2				

Pengujian sampel dilakukan sebanyak dua kali, maka penamaan

sampel akan ditambah angka 1 dan 2 dibelakang nama sampel.

C.4. Pengujian Berat Jenis

Pengujian berat jenis dilakukan untuk mengetahui berat jenis dari pasir dengan mengacu pada standar ASTM D 854, seperti yang terlihat pada Gambar 15.



Gambar 15. Pengujian Berat Jenis.

C.5. Pengujian kerapatan Relatif

Pengujian kerapatan relatif (Dr) bertujuan untuk mendapatkan berat volume kering minimum dan maksimum (γ_{dmin} dan γ_{dmax}). Prosedur pengujian mengacu pada standar dari jepang, yaitu standar JGS0161:2009. Sampel yang digunakan adalah sampel yang sudah diatur gradasinya sesuai gradasi rencana, seperti yang terlihat pada Gambar 16, dan proses pengujian dapat dilihat pada Gambar 17.



Gambar 16. Sampel Pengujian.





Gambar 17. Pengujian Kerapatan relatif.

C.6. Menghitung Angka Pori (e) dan Berat Volume Kering (γ_d)

Menghitung angka pori (*e*) dan berat volume kering (γd), bertujuan untuk mengetahui angka pori dan berat volume kering pada kondisi kerapatan relatif sebesar 70%. Langkah-langkah perhitungannya adalah sebagai berikut:

- 1. Menghitung angka pori maksimum dan minimum (e_{max} dan e_{min}) berdasarkan nilai berat jenis (G_s) dan berat volume kering minimum dan maksimum (γ_{dmin} dan γ_{dmax}) yang diperoleh dari pengujian kerapatan relatif.
- 2. Menghitung angka pori (e) pada kondisi kerapatan relatif (D_r) 70%.
- 3. Menghitung berat volume kering (γ_d) pada kondisi kerapatan relatif (D_r) 70%, berdasarkan hubungan nilai berat jenis (G_s) dan angka pori (e) pada kondisi kerapatan relatif (D_r) 70%.

C.7. Menghitung Berat Sampel

Menghitung berat sampel bertujuan untuk mengetahui berat sampel yang dibutuhkan untuk mengisi ring direct shear. Selain itu, perhitungan ini juga bertujuan untuk mengetahui berat sampel tertahan pada setiap saringan, supaya gradasi yang direncanakan tetap sama dengan sampel yang dimasukkan ke dalam ring direct shear.

Langkah-langkah perhitungannnya adalah sebagai berikut:

1. Menghitung volume ring *direct shear*.

- 2. Menghitung berat sampel yang dibutuhkan untuk mengisi ring direct shear, dengan cara mengalikan berat volume (γ_d) pada kondisi kerapatan relatif (D_r) 70%, dengan volume ring direct shear.
- 3. Menghitung berat tertahan pada setiap saringan, yaitu dengan cara mengalikan berat sampel yang dibutuhkan untuk mengisi ring direct shear, dengan persentase berat tertahan pada setiap saringan.
- 4. Menimbang berat tiap sampel, sesuai proporsi berat yang tertahan pada setiap nomor saringan dan menyatukannya dalam wadah yang sama.

C.8. Pengujian Geser Langsung

Pengujian geser langsung (direct shear test) mengacu pada standar ASTM D 3080. Tujuan dari pengujian untuk mendapatkan adalah parameter kuat geser tanah yaitu sudut geser (ϕ). Metode pengujian geser yang dilakukan adalah metode regangan terkendali (strain controlled), vaitu kecepatan pergeseran yang diatur sedemikian rupa. Pengujian dilakukan sebanyak 2 kali untuk semua sampel, parameter kuat geser yang diperoleh dari pengujian akan dirata-Proses pengujian ratakan. geser langsung, dapat dilihat pada Gambar 18.

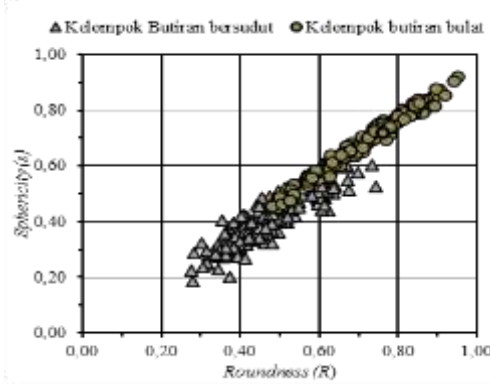




Gambar 18. Pengujian Geser Langsung.

D. HASIL DAN PEMBAHASAN D.1. Hasil Analisis Bentuk Butiran

Hasil dari analisis parameter bentuk butiran yang berjumlah 200 butiran dari setiap kelompok pasir, yaitu nilai parameter *roundness* (*R*) dan *sphericity* (*S*) yang diperoleh dari *ImageJ*, diplot ke dalam grafik estimasi bentuk butirann seperti yang terlihat pada Gambar 19.



Gambar 19. Distribusi Estimasi Bentuk Butiran.

Berdasarkan Gambar 19, terlihat bahwa distribusi dari estimasi bentuk butiran kelompok pasir butiran bersudut, lebih condong ke arah nilai roundness (R) dan sphericity (S) yang rendah, yang artinya estimasi bentuk tersebut, butiran pasir cenderung mempunyai bentuk butiran yang lonjong dengan pinggiran tajam atau menyudut. Sebaliknya, distribusi dari estimasi bentuk butiran kelompok pasir butiran bulat, lebih condong ke arah nilai roundness (R) dan sphericity (S) yang tinggi, yang artinya estimasi bentuk butiran pasir tersebut, cenderung mempunyai bentuk butiran seperti bola dengan pinggiran yang melengkung.

Kelompok pasir butiran bersudut, mempunyai nilai rata-rata *roundness* (R) dan *sphericity* (S), yaitu sebesar 0,47 dan 0,41. Dari nilai tersebut, diperoleh nilai *regularity* (ρ) sebesar 0,44. Kelompok pasir butiran bulat, mempunyai nilai rata-rata *roundness* (R) dan *sphericity* (S), yaitu sebesar 0,66 dan 0,72. Dari nilai tersebut, diperoleh nilai *regularity* (ρ) sebesar

0,69. Berdasarkan nilai parameter regularity (ρ) dari kedua pasir, maka tingkatan bentuk butiran dari kelompok pasir butiran bersudut adalah sub-angular, dan kelompok pasir butiran bulat adalah sub-rounded.

D.2. Hasil Pengujian Berat Jenis

Hasil pengujian berat jenis (G_s) dari kedua pasir dapat dilihat pada Tabel 5.

Tabel 5. Hasil Pengujian Berat Jenis.

Bentuk Pasir	G_s
SA	2,657
SR	2,655

Dari pengujian, diperoleh nilai berat jenis (G_s) dari pasir bentuk *sub-angular* lebih tinggi, yaitu sebesar 2,657 dibandingkan dengan pasir bentuk *sub-rounded* sebesar 2,655. Berdasarkan rentang nilai berat jenis (G_s) untuk pasir, yaitu 2,65 - 2,68, maka nilai berat jenis (G_s) dari kedua pasir telah memenuhi rentang nilai yang ditetapkan.

D.3. Hasil Pengujian Kerapatan Relatif (D_r)

Hasil pengujian kerapatan relatif (D_r) yaitu berupa berat volume kering minimum dan maksimum $(\gamma_{dmin}$ dan $\gamma_{dmax})$ dari pasir, seperti yang terlihat pada Tabel 6. Berat volume kering (γ_d) yang diperoleh merupakan kepadatan maksimum dan minimum yang dapat dicapai oleh pasir ketika diuji.

Tabel 6. Hasil Pengujian Kerapatan Relatif

retatii.	
γ_{dmin}	γ_{dmaks}
gr/cm³	gr/cm³
1,232	1,406
1,552	1,784
1,463	1,678
1,532	1,672
1,774	1,956
1,595	1,801
	γ _{dmin} gr/cm³ 1,232 1,552 1,463 1,532 1,774

D.4. Hasil Perhitungan Angka Pori(e) dan Berat Volume Kering(γ_d)

Berat volume kering minimum dan maksimum (γ_{dmin} dan γ_{dmax}) yang diperoleh dari pengujian kerapatan merupakan relatif (D_r) kepadatan maksimum dan minimum yang dapat dicapai oleh pasir. Kepadatan yang maksimum berarti mempunyai kerapatan relatif (D_r) sebesar 100%, dan kepadatan minimum berarti mempunyai kerapatan relatif (D_r) sebesar 0%. Karena pada penelitian ini kerapatan relatif yang mau dicapai adalah sebesar 70%, maka harus dicari angka pori (e) pada kondisi tersebut, berdasarkan hubungan angka pori maksimum dan minimum (e_{max} dan e_{min}) dengan Berat minimum volume kering maksimum (γ_{dmin} dan γ_{dmax}). Angka pori maksimum dan minimum (e_{max} dan e_{min}) menggunakan dihitung dengan Persamaan 3 dan Persamaan 4. Hasil perhitungannya dapat dilihat pada Tabel 7.

Tabel 7. Hasil Perhitungan angka pori maksimum dan minimum (e_{max} dan

	e_{min}).	
Sampel	e_{max}	e_{min}
SA-G1	1,157	0,890
SA-G2	0,712	0,489
SA-G3	0,816	0,583
SR-G3	0,733	0,588
SR-G2	0,497	0,357
SR-G3	0,665	0,474

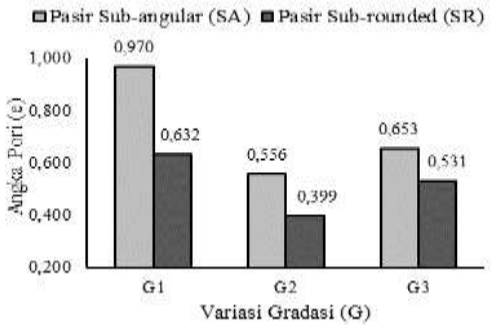
Setelah mengetahui nilai dari angka pori maksimum dan minimum $(e_{max}$ dan $e_{min})$, selanjutnya adalah mencari angka pori (e) dan berat volume kering (γ_d) pada kondisi kerapatan relatif sebesar 70%. Angka pori (e) dihitung berdasarkan hubungan angka pori maksimum dan minimum $(e_{max}$ dan $e_{min})$ dengan besar kerapatan relatif, yaitu dengan menggunakan

persamaan 1, dan berat volume kering (γ_d) dihitung dengan menggunakan Persamaan 2. Hasil perhitungannya dapat dilihat pada Tabel 8.

Tabel 8. Hasil Perhitungan angka pori (*e*) dan Berat volume kering (γ_d) .

		0 (14)
Sampel	e	γ_d (gr/cm ³)
SA-G1	0,970	1,349
SA-G2	0,556	1,707
SA-G3	0,653	1,607
SR-G1	0,632	1,627
SR-G2	0,399	1,898
SR-G3	0,531	1,734

Dari perhitungan angka pori (*e*), terlihat bahwa angka pori dari butiran pasir *sub-angular* lebih tinggi dari butiran *sub-rounded*, seperti yang terlihat pada Gambar 20.



. Gambar 20. Perbadingan Angka Pori (e) Kedua Pasir.

Perilaku yang ditunjukkan oleh angka pori (e) akibat bentuk butiran pasir pada penelitian ini, bersesuaian dengan pernyataan dari Sukumaran dan Ashmawy (2001) dan Cho dkk (2004) yaitu butiran yang cenderung bersudut, mempunyai angka pori yang tinggi, dibandingkan dengan butiran yang cenderung bulat. Penomena ini bisa terjadi, karena struktur tanah dengan bentuk butiran yang bersudut, cenderung membentuk struktur sarang lebah, yang mana struktur tersebut menimbulkan ruang yang banyak diantara butiran.

D.5. Hasil Perhitungan Berat Sampel

Berat sampel dihitung dengan mengalikan berat volume (γ_d) dengan volume ring *direct shear* yaitu sebesar 58,534cm³. Hasil perhitungannya dapat dilihat pada Tabel 9.

Tabel 9. Hasil Perhitungan Berat Sampel.

Sampel	Berat sampel total			
SA-G1	78,95			
SA-G2	99,94			
SA-G3	94,07			
SR-G1	95,26			
SR-G2	111,07			
SR-G3	101,49			

Pembagian berat sampel dihitung dengan membagi berat sampel total sesuai persentase tertahan pada setiap saringan, seperti yang terlihat pada Tabel 10 dan Tabel 11.

Tabel 10. Pembagian Berat Sampel Pasir *Sub-angular*.

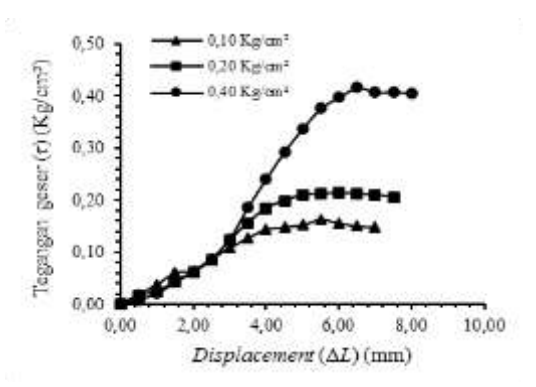
No.	SA-G1	SA-G2	SA-G3	
Ayakan		Berat tertahan (gr)	Berat tertahan (gr)	
4	0	0	0	
6	0	29,98	9,41	
10	0	29,98	9,41	
20	39,48	9,99	9,41	
40	39,48	9,99	9,41	
100	0	9,99	28,22	
200	0	9,99	28,22	
Total	78,95	99,94	94,07	

Tabel 11. Pembagian Berat Sampel Pasir *Sub-rounded*.

	i asii suo	rounaca.	
	SR-G1	SR-G2	SR-G3
No. Ayakan	Berat	Berat	Berat
	tertahan (gr)	tertahan (gr)	tertahan (gr)
4	0	0	0
6	0	33,32	10,15
10	0	33,32	10,15
20	47,63	11,11	10,15
40	47,63	11,11	10,15
100	0	11,11	30,45
200	0	11,11	30,45
Total	95,26	111,07	101,49

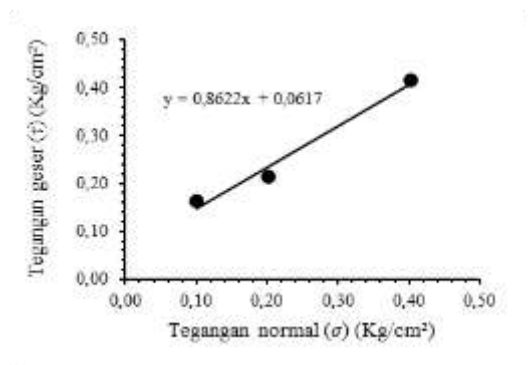
D.6. Hasil Pengujian Geser Langsung

Hasil grafik pengujian geser langsung yang ditampilkan hanya contoh sampel dari SA-G1-1, yaitu pada Gambar 21 dan Gambar 22.



Gambar 21. Hubungan Tegangan Geser (τ) dan Pergeseran (ΔL) .

Berdasarkan Gambar 21, diperoleh nilai tegangan geser maksimum (τ) dari setiap beban normal (σ) yang berbeda-beda, kemudian dari grafik tersebut, dibuat hubungan dari keduanya, yang mana tegangan geser (τ) adalah fungsi dari tegangan normal (σ) seperti yang terlihat pada Gambar 22.



Gambar 22. Hubungan Tegangan Geser (τ) dan Tegangan Normal (σ) .

Berdasarkan Gambar 22, diperoleh parameter kuat geser berdasarkan gradien persamaan regresi linear yang diperoleh dari grafik hubungan tegangan geser (τ) dengan tegangan normal (σ). Parameter kuat geser dihitung dengan Persamaan 8, sehingga diperoleh hasil sebagai berikut: Sudut geser (ϕ) = tan⁻¹ (0,862) = 40,77⁰ Kohesi (c) = 0,062 Kg/cm²

Dengan cara yang sama, parameter kuat geser untuk pengujian sampel yang lain dapat dilihat pada Tabel 12.

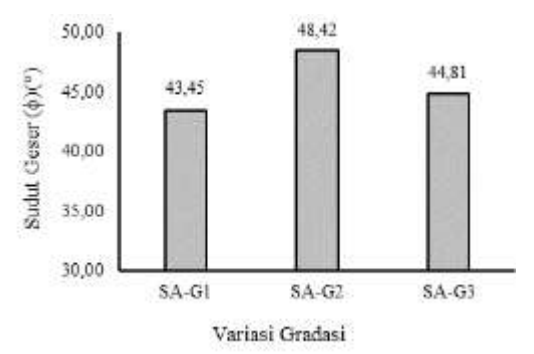
Tabel 12. Parameter Kuat Geser dari Uji Geser Langsung.

Nama sampel	Parameter kuat geser		Parameter kuat geser rata-rata	
	φ (⁰)	c (Kg/cm²)	ϕ (0)	c (Kg/cm²)
SA-G1-1	40,77	0,062	43,45	0,056
SA-G1-2	46,13	0,051	-, -	,,,,,
SA-G2-1	47,17	0,127	48,42	0,151
SA-G2-2	49,68	0,176		
SA-G3-1	43,52	0,086	44,81	0,082
SA-G3-2	46,09	0,077		
SR-G1-1	41,35	0,041	37,36	0,057
SR-G1-2	33,38	0,073		
SR-G2-1	49,86	0,072	46,30	0,085
SR-G2-2	42,75	0,097		
SR-G3-1	36,63	0,070	38,15	0,058
SR-G3-2	39,68	0,045		

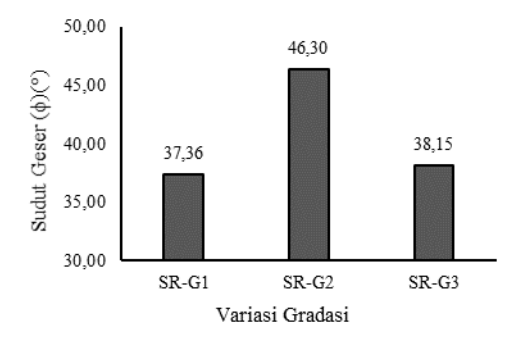
Dari pengujian geser langsung, diperoleh parameter kuat geser berupa sudut geser (ϕ) dan kohesi (c). Seharusnya parameter kuat geser yang dihasilkan hanya sudut geser (φ) saja, karena sampel pasir yang digunakan untuk pengujian berada dalam kondisi kering atau kadar air (w) adalah 0%, akan tetapi dari pengujian diperoleh kohesi (c). Untuk penelitian munculnya kohesi (c) pada pengujian geser langsung, karena adanya kemungkinan fenomena apparent mechanical force. Hal ini bisa terjadi karena kondisi butiran saat berada di dalam kotak geser, saling mengunci satu sama lain (*interlocking* yang tinggi diantara butiran), dimana hal ini dapat memunculkan munculnya kohesi (*c*) semu.

D.6.1. Perilaku Sudut Geser Akibat Gradasi

Perilaku sudut geser (\$\phi\$) dari kedua pasir akibat pengaruh dari gradasi, dapat dilihat pada Gambar 23 dan Gambar 24.



Gambar 23. Perbandingan Sudut Geser Pasir *Sub-angular* (ϕ) Akibat Gradasi.



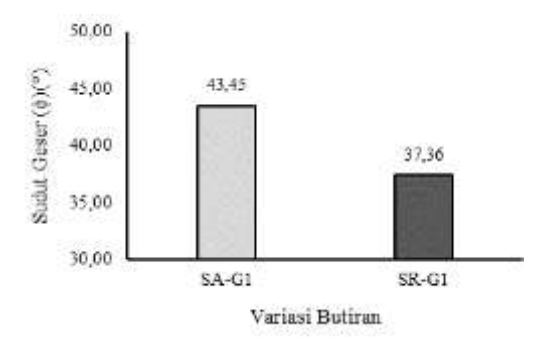
Gambar 24. Perbandingan Sudut Geser Pasir *Sub-rounded* (ϕ) Akibat Gradasi.

Berdasarkan Gambar 23 dan Gambar 24, diperoleh korelasi antara perilaku sudut geser (\$\phi\$) dengan gradasi yaitu, bahwa semakin banyak butiran kasar dalam sebuah gradasi maka sudut geser (\$\phi\$) yang dihasilkan akan tinggi. Hal itu terlihat pada variasi gradasi 2 dari kedua pasir yaitu sampel SA-G2 dan SR-G2 mempunyai sudut geser (\$\phi\$)

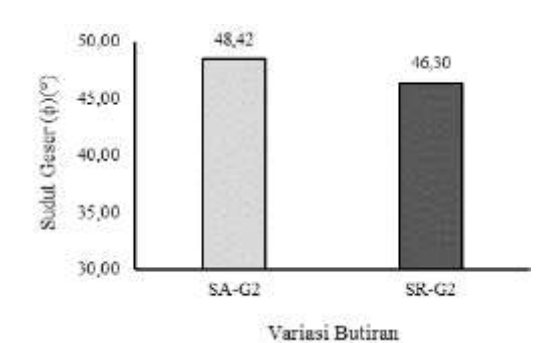
yang lebih tinggi dari variasi gradasi 3 sampel SA-G3 dan SR-G3 walaupun panjang distribusi butirannya Disisi lain, gradasi sama. mempunyai distribusi butiran yang lebih panjang, akan mempunyai sudut geser (\$\phi\$) yang lebih tinggi daripada gradasi yang mempunyai distribusi butiran yang pendek. Hal itu terlihat pada variasi gradasi 3 dari kedua pasir yaitu sampel SA-G3 dan SR-G3 yang mempunyai sudut geser (\phi) yang lebih tinggi dari variasi gradasi 1 yaitu SA-G1 dan SR-G1.

D.6.2. Perilaku Sudut Geser Akibat Bentuk Butiran

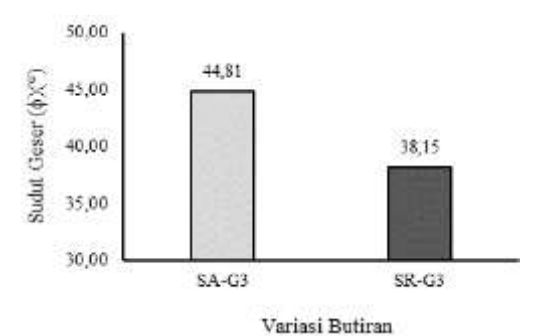
Perilaku sudut geser (φ) dari kedua pasir akibat dari pengaruh bentuk butiran, dapat dilihat pada Gambar 25, Gambar 26 dan Gambar 27.



Gambar 25. Perbandingan Sudut Geser (φ) Pasir *Sub-angular* dan *Sub-rounded* Pada Variasi Gradasi 1.



Gambar 26. Perbandingan Sudut Geser (φ) Pasir *Sub-angular* dan *Sub-rounded* Pada Variasi Gradasi 2.



Gambar 27. Perbandingan Sudut Geser (\$\phi\$) Pasir Sub-angular dan Subrounded Pada Variasi Gradasi 3.

Berdasarkan Gambar 25. Gambar 26 dan Gambar 27, diperoleh korelasi dari perilaku sudut geser (φ) akibat bentuk butiran yaitu, bentuk butiran pasir yang cenderung bersudut menghasilkan sudut geser (φ) yang lebih tinggi dari pasir dengan bentuk butiran yang cenderung bulat. Hal itu jelas terlihat pada pasir dengan bentuk butiran sub-angular (SA) pada semua variasi gradasi, mempunyai sudut geser yang lebih tinggi dibandingkan pasir dengan bentuk butiran subrounded (SR). Hal ini bisa terjadi, karena butiran yang cenderung bersudut mempunyai interlocking yang tinggi (bertautan satu sama lain) dan ini akan menyebabkan gesekan antar butiran meningkat.

E. KESIMPULAN

Setelah melakukan pengujian, pengolahan dan pembahasan, diperoleh kesimpulan sebagai berikut:

1. Hasil analisis morfologi bentuk butiran pasir, yaitu kelompok pasir butiran bersudut mempunyai nilai rata-rata dari parameter *roundness* (*R*), sphericity (*S*) dan regularity (ρ), yaitu sebesar 0,47, 0,41, dan 0,44. Kelompok pasir butiran bulat, mempunyai nilai rata-rata dari parameter roundness (*R*),

- sphericity (S) dan regularity (ρ), yaitu sebesar 0,66, 0,72, dan 0,69. Berdasarkan nilai parameter tersebut, maka tingkatan bentuk butiran dari kelompok pasir butiran bersudut adalah subdan kelompok pasir angular, butiran bulat adalah sub-rounded.
- Hasil pengaruh gradasi terhadap perilaku sudut geser (φ), yaitu gradasi yang lebih banyak didominasi oleh fraksi butiran kasar dan yang mempunyai distribusi butiran yang panjang, akan meningkatkan sudut geser (φ).
- 3. Hasil pengaruh bentuk butiran terhadap perilaku sudut geser (φ), yaitu pasir dengan bentuk butiran cenderung bersudut, menghasilkan sudut geser (φ) yang lebih tinggi dari pasir dengan bentuk butiran cenderung bulat.

DAFTAR PUSTAKA

- Alias, R., Kasa, A., & Taha, M. R. (2014). Particle Size Effect on Shear Strength of Granular. World Academy of Science, Engineering and Technology International Journal of Civil, Architectural, Structural and Construction Engineering Vol:8 No:11, 2014.
- Ashmawy, A. K., Sukumaran, B., & Hoang, V. V. (2003). Evaluating the Influence of Particle Shape on Liquefaction Behavior Using Discrete Element Modeling. *The International Society of Offshore and Polar Engineers*.
- ASTM-D-2435. (1994). Standard Test Method for Direct Shear Test of Soils Under Consolidated Drained Conditions. *American* Standard Testing and Material.

- ASTM-D-422. (1994). Standard Test Method for Particle-Size Analysis of Soils. *American* Standard Testing and Material.
- ASTM-D-854. (1994). Standard Test Methods for Specific Gravity of Soil Solids by Water Pycnometer. American Standard Testing and Material.
- Bogss, S. (2009). *Petrology of Sedimen Rocks 2nd ed.* New York: Cambridge University Press.
- Budhu, M. (2010). Soil Mechanics and Foundation 3rd ed. United States of America.
- Cho, G.-C., Dodds, J., & Santamarina, J. C. (2004). Particle Shape of on Packing Density Stifness and Strength Natural and Crushed Sands-.
- Coduto, D. P. (1999). Geotechnical Engineering Principles and Practices. Prentice hall.
- Cox, M. R., & Budhu, M. (2007). A Practical Approach to Grain Shape Quantification. *Engineering Geology*.
- Das, B. M. (1995). *Mekanika Tanah (Prinsip-prinsip Rekayasa Geoteknis) Jilid 1*. Jakarta:
 Erlangga.
- Das, B. M. (1995). *Mekanika Tanah (Prinsip-prinsip Rekayasa Geoteknis) Jilid* 2. Jakarta:
 Erlangga.
- Ferreira, T., & Rasband, W. (2011). *The ImageJ User Guide Version 1.44*. Retrieved from http://imagej.nih.gov/ij/docs/use r-guide.pdf.
- Hardiyatmo, H. C. (2002). *Mekanika Tanah 1*. Yogyakarta: Gadjah
 Mada University Press.
- Hryciw, R. D., Zheng, J., & Shetler, K. (2016). Particle Roundness and Sphericity from Images of Assemblies by Chart Estimates

- and Computer Methods. *J. Geotech. Geoenviron. Eng.*
- JGS-0161-2009. (2009). Laboratory
 Testing Standards of
 Geomaterials: Test for Physical
 Properties Test Method for
 Minimum and Maximum
 Densities of Sand. *The Japanese*Geotechnical Society.
- Kara, E. M., Meghachou, M., & Aboubekr, N. (2013).
 Contribution of Particles Size Ranges to Sand Friction. ETASR
 Engineering, Technology & Applied Science Research.
- Olson, D. R., & Lai, J. (2004). *Direct Shear Testing*. Chaoyang:
 Department of Construction
 Engineering Advanced
 Geotechnical Laboratory.
- Rees, S. D. (2010). Effects of Fines on The Undrained Behaviour of Christchurch Sandy Soils.

 Department of Civil and Natural Resources Engineering. Christchurch: University of Canterbury.
- Sukumaran, B., & Ashmawy, A. K. (2001). Quantitative Characterisation of The Geometry of Discrete Particles . *Geotechnique* 51(7):619-627.
- Umam, K. (2017). Pengaruh Gadasi Pasir dan Kadar Lempung Terhadap Kuat Geser Tanah. Jom FTEKNIK Volume 4 No. 1 Februari 2017, 6-7.